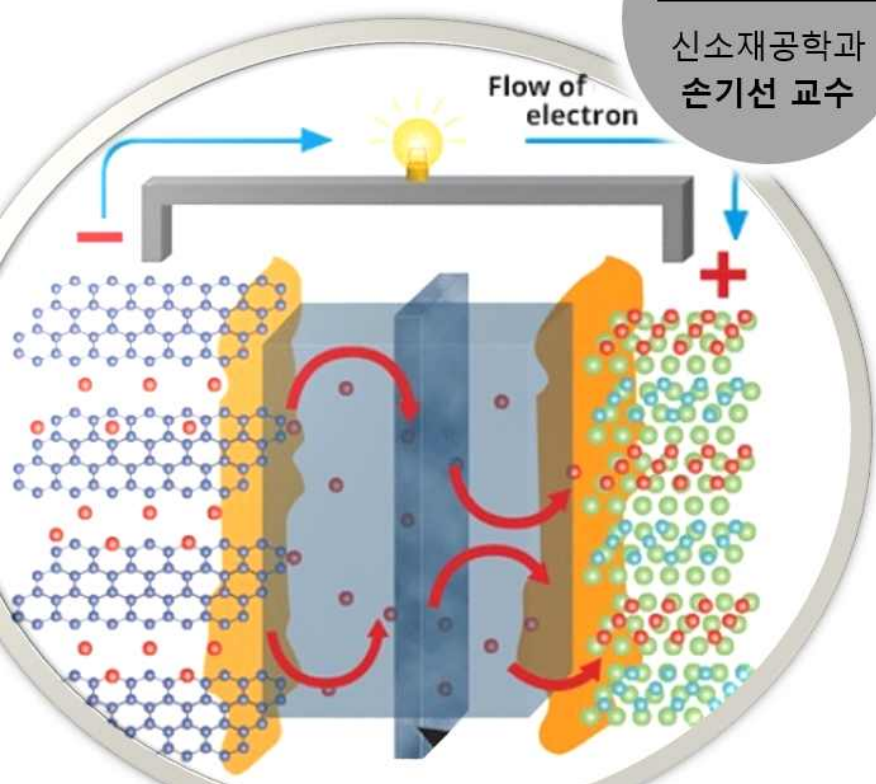


## 터널 결정구조의 칼륨 이차전지용 양극 활물질

본 기술은 칼륨 이차전지용 양극 활물질에  
관한 것으로서,  
 $(K_{1-a}M1_a)(M2_{1-b}M3_b)P_cO_d$  양극 활물질에  
관한 것임

대표발명자

신소재공학과  
손기선 교수



세종대학교  
산학협력단

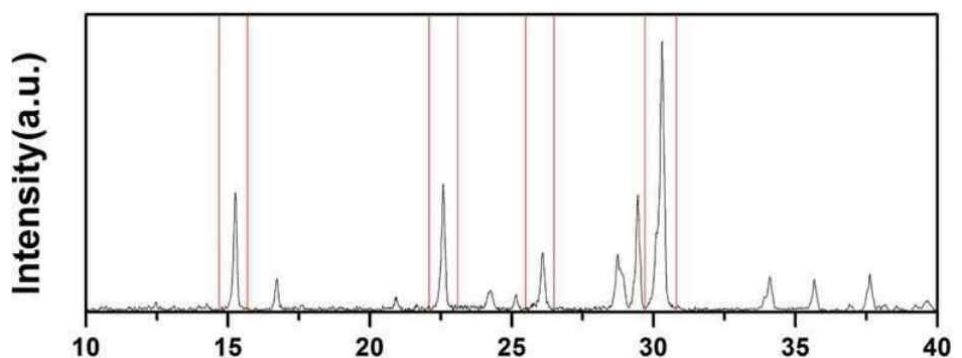
## 01 발명의 명칭

칼륨 이차 전지용 양극 활물질, 이를 포함하는 칼륨 이차 전지

## 02 종래기술 대비 본 기술의 개요 및 특징

- 종래 기술의 문제점
  - 현재 이차전지 시장은 그린 에너지 산업의 핵심 성장 동력으로, 초고속 성장 추세에 있으며, 특히, 리튬 이차전지가 상용화되고 있음
  - 리튬 이차전지만으로는 수요에 부응할 수 없어, 리튬을 대체할 수 있는 포스트 이차전지의 개발이 필요하며, 차세대 이차전지로 나트륨 이차전지에 대한 연구가 활발히 진행되고 있음
  - 이에 대하여, 나트륨보다 풍부한 자원량을 가지며 낮은 표준 환원 전위를 갖는 칼륨 금속을 포함하는 칼륨 이차전지에 대한 개발이 진행됨
- 기술의 간략한 설명
  - 본 발명은 구조적 안정성이 우수한 터널 형태의 결정구조를 갖는 칼륨 이차전지용 양극 활물질을 제공함
  - 상기 양극 활물질을 포함하는 이차전지는 사이클 특성이 우수함

### ■ 대표도면

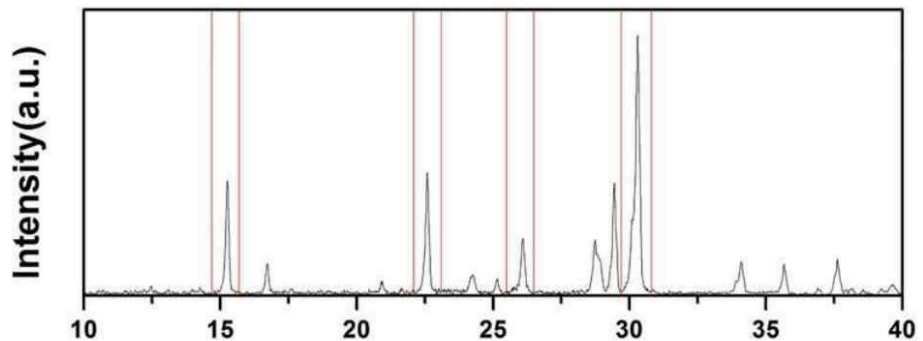


2θ

■ 기술의 특징 및 우수성

칼륨 이차전지용 양극 활물질 및 그 제조방법

- 본 발명의 칼륨 이차전지용 양극 활물질은, K, 전이금속, P 및 O를 포함하는 결정질 물질로, 상기 물질의 X선 회절 패턴에 있어서, 가장 강도가 높은 회절 피크의 상대 강도를 100%로 했을 때, 상기 X선 회절 패턴의 브래그 각도 (2θ) 가 14.7 ~ 15.7°, 22.1 ~ 23.1°, 25.5 ~ 26.5°, 29.7 ~ 30.8°인 범위에서 상대 강도 5% 이상인 회절 피크를 나타내는 상을 주상으로 포함하고, 상기 양극 활물질의 조성을 가짐:  
[화학식 1]  $(K_{1-a}M1_a)(M2_{1-b}M3_b)P_cO_d$   
화학식 1에서, M1은 K를 제외한 알칼리 금속원소 중 1종 이상, M2 및 M3는 전이금속 원소 중 1종 이상,  $0 \leq a \leq 0.2$ ,  $0 \leq b \leq 0.7$ ,  $1.8 \leq c \leq 2.2$ ,  $6.8 \leq d \leq 7.2$ 임
- 자세하게는, 상기 본 발명에 따른 칼륨 이차전지용 양극 활물질로서 결정질 물질은,  $KVP_2O_7$ ,  $KTiP_2O_7$ ,  $KCrP_2O_7$ ,  $KFeP_2O_7$ ,  $KMoP_2O_7$  중에서 선택된 1종 이상을 포함하는 것임
- 상기 활물질의 제조방법은, 상기 양극 활물질의 전구체( $K_2CO_3$ ,  $V_2O_5$ ,  $TiO_2$ ,  $(NH_4)_2HPO_4$  등)의 화합물들을 칭량하여 혼합한 후, 대기압 하에서 질소 분위기 하에서 700 내지 1100°C에서 소성시킨 후 분쇄시키는 것임



2θ

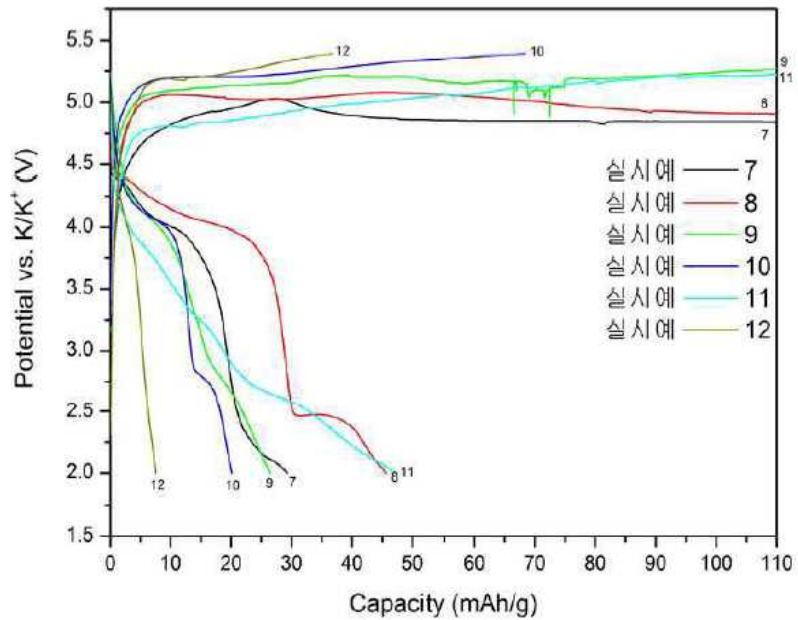
[본 발명에 실시예에 따라 합성된 양극 활물질의 X선 회절 패턴의 브래그 각도를 나타낸 그래프]

기술의 우수성

실시예	1번째 사이클 용량(mAh/g)		10번째 사이클 용량(mAh/g)	
	충전	방전	충전	방전
7	174.3166	29.2949	50.7070	32.6744
8	270.5535	45.6793	49.9893	35.2444
9	253.4519	26.4667	36.9736	22.7879
10	68.4465	30.1204	31.3705	24.0434
11	187.1293	47.4293	49.6825	33.4117
12	36.7565	7.5408	10.6160	8.5019

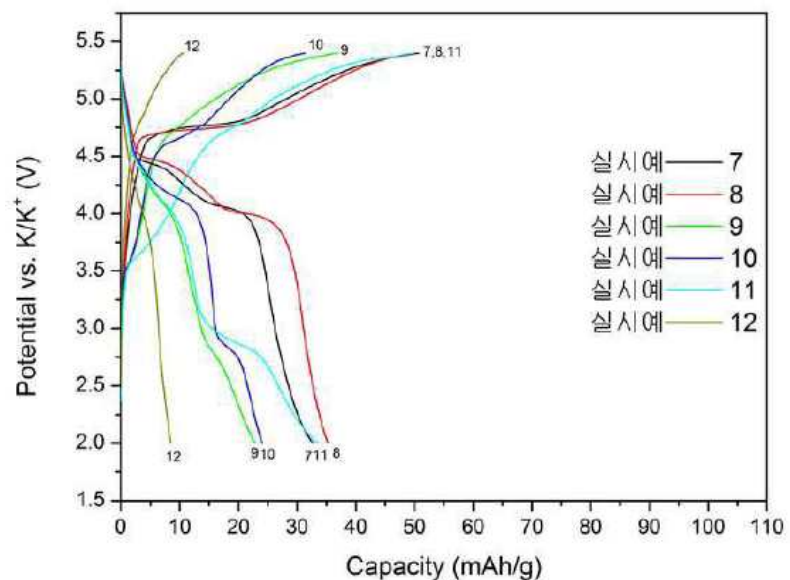
[하기 그래프에 따른 구체적인 용량 수치를 나타낸 표]

- 본 발명에 따라 제조된 양극 활물질의 일 실시예들에 대한 충방전 특성을 나타낸 그래프로, 특히, 첫 번째 충방전 결과를 나타낸 것임
- 방전 용량이 50mAhg<sup>-1</sup> 이상인 실시예가 존재함을 확인할 수 있음(전지특성 평가 조건은, 12mA g<sup>-1</sup>의 C-rate에서, 2.0 내지 5.4V의 cut off로 실시함)



[본 발명에 실시예들에 따라 합성된 양극 활물질의 첫 번째 충방전 결과를 나타낸 그래프]

- 본 발명에 따라 제조된 양극 활물질의 일 실시예들에 대한 충방전 특성을 나타낸 그래프로, 특히, 열 번째 충방전 결과를 나타낸 것임
- 상기에 따른 첫 번째 충방전 실시예에 따른 방전용량 대비 감소율이 낮아, 방전용량 유지율이 우수함을 알 수 있음(전지특성 평가 조건은, 12mA g<sup>-1</sup>의 C-rate에서, 2.0 내지 5.4V의 cut off로 실시함)



[본 발명에 실시예들에 따라 합성된 양극 활물질의 열 번째 충방전 결과를 나타낸 그래프]

■ 기술의 우수성

- ① 본 발명의 칼륨 이차전지용 양극 활물질은 충방전 과정에서도 구조적 안정성을 유지할 수 있음
- ② 특히, 방전용량 유지율이 우수한 칼륨 이차전지를 제공함

종래기술 문제점	<ul style="list-style-type: none"> <li>• 이차전지의 시장은 급속도로 성장하고 있으나, 현재 상용화된 리튬 이차전지만으로는 수요를 감당하기 어려움</li> <li>• 차세대 이차전지에 대한 연구가 필요한 실정</li> <li>• 이에 따라, 나트륨보다 풍부한 자원량을 가지며 낮은 표준 환원 전위를 갖는 칼륨 금속을 포함하는 칼륨 이차전지에 대한 개발이 진행됨</li> </ul>
해결방안	<ul style="list-style-type: none"> <li>• <b>층상형태의 결정구조</b>를 가지며 구조적 안정성이 우수한 칼륨 이차전지용 양극 활물질을 제공함</li> </ul>
기술의 특징 및 우수성	<ul style="list-style-type: none"> <li>• 칼륨 이차전지용 양극 활물질은 가장 강도가 높은 회절 피크의 상대 강도를 100%로 했을 때, 상기 X선 회절 패턴의 브래그 각도 (<math>2\theta</math>) 가 <math>14.7 \sim 15.7^\circ</math>, <math>22.1 \sim 23.1^\circ</math>, <math>25.5 \sim 26.5^\circ</math>, <math>29.7 \sim 30.8^\circ</math>인 범위에서 상대 강도 5% 이상인 회절 피크를 나타내는 상을 주상으로 포함함</li> <li>• 양극 활물질의 조성 : <math>(K_{1-a}M1_a)(M2_{1-b}M3_b)P_cO_d</math> (M1은 K를 제외한 알칼리 금속원소 중 1종 이상, M2 및 M3는 전이금속 원소 중 1종 이상, <math>0 \leq a \leq 0.2</math>, <math>0 \leq b \leq 0.7</math>, <math>1.8 \leq c \leq 2.2</math>, <math>6.8 \leq d \leq 7.2</math>임 (<math>0.35 \leq x \leq 1</math>이고, <math>0.95 \leq y \leq 1.05</math>임))</li> </ul>

■ 기술의 효과

- 리튬 이차전지에 대한 차세대 이차전지를 제공할 수 있음
- 사이클 안정성과 우수한 고율 특성을 갖는 칼륨 이차전지를 제공할 수 있음

■ 기술의 완성도(TRL)

기초 연구 단계		실험 단계		시작품 단계		제품화 단계		사업화
기본원리 파악	기본개념 정립	기능 및 개념 검증	연구실환경 테스트	유사환경 테스트	파일럿현장 테스트	상용모델 개발	실제 환경 최종테스트	상용운영
			●					

■ 기술 키워드

한글키워드	칼륨 이차전지, 전극 활물질, 터널형 구조
영문키워드	Potassium based secondary battery, active material, tunnel type

### 03 기술적용분야 및 경쟁력

■ 기술의 적용분야

- 칼륨 이차전지
- 칼륨 이차전지용 전극 활물질

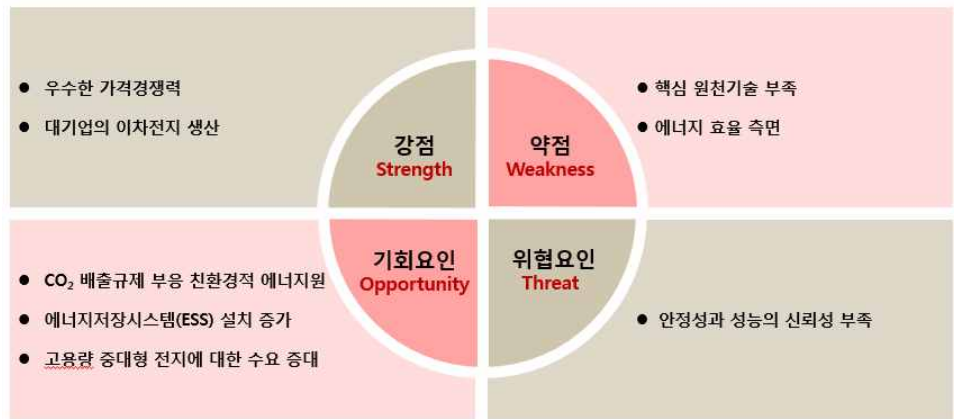
■ 기술경쟁력

- 차세대 리튬 이차전지로서, 칼륨 이차전지를 제공함에 따라 칼륨 이차전지의 상용화에 기여할 수 있음
- 포스트 리튬 이차전지의 대표주자인 나트륨 이차전지에 포함된 나트륨 금속 대비 칼륨 금속은 풍부한 자원량을 보임

■ 기술실시에 따른 기업에서의 이점

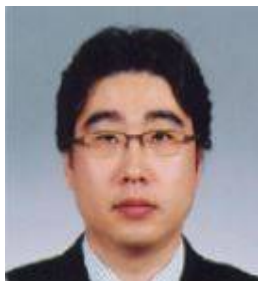
- 미래의 이차전지 시장의 후보군임
- ESS용과 같은 대용량 이차전지에 이용될 수 있음

[국내 칼륨 이차전지 분야의 SWOT 분석]



■ 특허현황

구분	발명의 명칭	출원번호 (출원일)	등록번호 (등록일)	출원 국가
1	칼륨 이차 전지용 양극 활물질, 이를 포함하는 칼륨 이차 전지	10-2017-0030364 (2017-03-10)	10-1938962 (2019-01-09)	한국
2	칼륨 이차 전지용 양극 활물질, 이를 포함하는 칼륨 이차 전지	18763829.1 (2018-12-17)	-	유럽
3	칼륨 이차 전지용 양극 활물질, 이를 포함하는 칼륨 이차 전지	16/310,849 (2018-12-18)	-	미국
4	칼륨 이차 전지용 양극 활물질, 이를 포함하는 칼륨 이차 전지	-	-	일본



**교수명** 손 기 선 (디스커버리 실험실)  
**소속** 세종대학교 공과대학 나노신소재공학과  
**E-mail** kssohn@sejong.ac.kr  
**연구분야** LED 형광체,  
 이차전지의 전극 소재

## ■ 대표 연구실적

### Journals

- Identification of a narrow band red light-emitting phosphor using computational screening of ICSD: Its synthesis and optical characterization, Journal Of Alloys And Compounds 774 (2019)
- KCrS<sub>2</sub> Cathode with Considerable Cyclability and High Rate Performance: The First K<sup>+</sup> Stoichiometric Layered Compound for Potassium-Ion Batteries , Small 14 (2018)
- Determination of possible configurations for Li<sub>0.5</sub>CoO<sub>2</sub> delithiated Li-ion battery cathodes via DFT calculations coupled with a multi-objective non-dominated sorting genetic algorithm (NSGA-III) , Physical Chemistry Chemical Physics 20 (2018)
- Rb<sub>3</sub>SiF<sub>7</sub>:Mn<sup>4+</sup> and Rb<sub>2</sub>CsSiF<sub>7</sub>:Mn<sup>4+</sup> Red-Emitting Phosphors with a Faster Decay Rate, Chemistry Of Materials 30 (2018) Polyviologen as a high energy density cathode in magnesium-ion batteries, Electrochimica Acta 283 (2018)
- Deep-Learning Technique To Convert a Crude Piezoresistive Carbon Nanotube-Ecoflex Composite Sheet into a Smart, Portable, Disposable, and Extremely Flexible Keypad, Acs Applied Materials & Interfaces 10 (2018)
- KVP2O<sub>7</sub> as a Robust High-Energy Cathode for Potassium-Ion Batteries: Pinpointed by a Full Screening of the Inorganic Registry under Specific Search Conditions, Advanced Energy Materials 8 (2018)
- Reversible K<sup>+</sup>-Insertion/Deinsertion and Concomitant Na<sup>+</sup>-Redistribution in P<sup>'</sup><sub>3</sub>-Na<sub>0.52</sub>CrO<sub>2</sub> for High-Performance Potassium-Ion Battery Cathodes, Chemistry Of Materials 30 (2018)
- Reversible K<sup>+</sup>-Insertion/Deinsertion and Concomitant Na<sup>+</sup>-Redistribution in P<sup>'</sup><sub>3</sub>-Na<sub>0.52</sub>CrO<sub>2</sub> for High-Performance Potassium-Ion Battery Cathodes, Chemistry Of Materials 30 (2018)
- Simultaneous Suppression of Metal Corrosion and Electrolyte Decomposition by Graphene Oxide Protective Coating in Magnesium-Ion Batteries: Toward a 4-V-Wide Potential Window, Acs Applied Materials & Interfaces 9 (2017)
- An extremely simple macroscale electronic skin realized by deep machine learning, Scientific Reports 7 (2017)
- Nickel hydroxide nanoplatelets via dendrimer-assisted growth on graphene for high-performance energy-storage applications, Electrochimica Acta 248 (2017)
- Metaheuristics-Assisted Combinatorial Screening of Eu<sup>2+</sup>-Doped Ca-Sr-Ba-Li-Mg-Al-Si-Ge-N Compositional Space in Search of a Narrow-Band Green Emitting Phosphor and Density Functional Theory Calculations, Inorganic Chemistry 56 (2017) 등

### 학술발표

- Data mining for the inorganic crystal structure database (ICSD) to search for a red light-emitting phosphor, Phosphor Safari 2018(한국정보디스플레이학회 등), 2018-11
- Search for Cuboid Local Structures in the Inorganic Crystal Structure Database (ICSD) and Ensuing DFT Computation to identify a Red Light-Emitting Phosphor , EL2018(EL), 2018-09
- Discovery of Phosphors for Light Emitting Diode Applications Using Metaheuristics Computation, Phosphor Global Summit 2017(Phosphor Global Summit), 2017-03 등





세종대학교  
산학협력단

UNIVERSITY